

СПЕКТРОСКОПИЯ ОКРУЖАЮЩЕЙ СРЕДЫ

УДК 539.194

Изотопический сдвиг колебательно-вращательных линий SO_2

А.Д. Быков[✉], Б.А. Воронин*

Институт оптики атмосферы им. В.Е. Зуева СО РАН
634055, г. Томск, пл. Академика Зуева, 1

Поступила в редакцию 22.05.2023 г.;
после доработки 4.07.2023 г.;
принята к печати 9.10.2023 г.

Простые изотопические соотношения, связывающие уровни энергии изотополов $^{32}\text{S}^{16}\text{O}_2$, $^{33}\text{S}^{16}\text{O}_2$ и $^{34}\text{S}^{16}\text{O}_2$ с уровнями других изотопопроизводных, применены для колебательно-вращательных уровней энергии. Для оценки точности изотопического соотношения проведен расчет и сравнение с измеренными центрами линий микроволнового спектра изотополога $^{36}\text{S}^{16}\text{O}_2$. Сравнение показало их вполне удовлетворительное согласие в среднем на уровне 10^{-4} см $^{-1}$. Представлены колебательно-вращательные уровни энергии изотополов двуокиси серы $^X\text{S}^{16}\text{O}_2$, $X = 35–38$, до $J = 9$ для пяти нижних колебательных состояний.

Ключевые слова: изотопический эффект в молекулах, изотопический сдвиг уровней двуокиси серы, колебательно-вращательная спектроскопия; isotopic effect, isotopic shift, sulfur dioxide, vibrational-rotational spectra.

Введение

Диоксид серы (SO_2) – один из основных газов, загрязняющих атмосферу. Источниками диоксида серы в атмосфере Земли являются как промышленная деятельность, так и природные явления – в основном извержения вулканов. Согласно данным [1] только за 2018 г. вулкан Аоба выбросил в атмосферу около 600 тыс. т SO_2 . Диоксид серы активно влияет на атмосферные процессы; SO_2 посредством цепочки химических реакций превращается в сульфатные аэрозоли, представляющие серьезную угрозу для дыхательной системы человека.

Измерения и анализ спектров диоксида серы, его стабильных и радиоактивных изотополов $^X\text{S}^Y\text{O}_2$ в широком спектральном диапазоне в микроволновой и ближней инфракрасной областях необходимы для решения ряда научных и технических задач. Измеренные и расчетные спектры изотопных модификаций SO_2 представляют интерес при моделировании оптических свойств атмосфер планет солнечной системы и экзопланет, для решения проблем геохимии, создания лазеров субмиллиметрового диапазона, в производстве радиохимпрепараторов и разработке методов разделения изотопов. По этой причине измерениям и расчетам центров и интенсивностей колебательно-вращательных (КВ) линий изотополов SO_2 уделялось достаточно много внимания, подробные обзоры исследований спектров двуокиси серы представлены в [2–12].

Ранее в работе [13] предложены приближенные изотопические соотношения для колебательных уровней энергии. Цель настоящей работы – оценка точности этих соотношений с помощью экспериментальных данных микроволнового спектра $^{36}\text{S}^{16}\text{O}_2$, а также расчет КВ-уровней энергии изотополов $^X\text{S}^{16}\text{O}_2$, $X = 35–38$, в том числе стабильного $^{36}\text{S}^{16}\text{O}_2$.

Изотопические соотношения для центров КВ-линий

В табл. 1 приведены характеристики некоторых изотопов серы: массы ядер, время полураспада и относительное естественное содержание. Необходимо отметить, что из четырех изотополов, рассмотренных в настоящей работе, только $^{36}\text{S}^{16}\text{O}_2$ стабилен,

Таблица 1

Изотопы серы со временем полураспада более 1 мин [14]

Изо- топ	Z	N	Масса, а.е.м	Время полураспада	Естествен- ное содер- жание, %
^{32}S	16	16	31,9720711744(14)	стабильный	0,944
^{33}S	16	17	32,9714589099(15)	стабильный	0,0079
^{34}S	16	18	33,96786701(5)	стабильный	0,039
^{35}S	16	19	34,96903232(4)	87,37 сут	
^{36}S	16	20	35,96708070(20)	стабильный	0,00027
^{37}S	16	21	36,97112551(21)	5,05 мин	
^{38}S	16	22	37,971163(8)	170,3 мин	

П р и м е ч а н и е. Z – число протонов, N – число нейтронов. В скобках приведена оценка ошибки определения массы.

* Александр Дмитриевич Быков (bykov@iao.ru); Борис Александрович Воронин (vba@iao.ru).

остальные являются радиоактивными со временем полураспада более одной минуты. Имеется также широкий набор радиоактивных изотопологов со временем полураспада менее одной минуты, однако их мы рассматривать не будем.

Среди стабильных изотопологов двуокиси серы $^{36}\text{S}^{16}\text{O}_2$ является редким — его естественное содержание составляет всего 0,02%. Для этой молекулы измерения спектров проведены только в микроволновом диапазоне [11]. Энергетические уровни КВ-состояний $^{36}\text{S}^{16}\text{O}_2$, переходы на которые дают ИК-спектры, определялись только расчетным путем с моделированием внутримолекулярной потенциальной функции (см., например, [2–5]).

Изотопозамещение в молекуле двуокиси серы относится к случаю замещения тяжелых атомов, для которого относительное изменение массы мало. Это позволяет рассматривать эффекты изотопозамещения методом теории возмущений (ТВ). Колебательные и КВ-уровни энергии и волновые функции при этом представляются рядами по степеням малых параметров — относительного изменения массы замещаемых атомов. Существенно, что коэффициенты ряда зависят от характеристик только одной изотопной модификации — в нашем случае $^{32}\text{S}^{16}\text{O}_2$. Такой ряд ТВ был назван изотопическим [13] и позволяет рассчитать уровни энергии любого изотополога. Необходимые коэффициенты изотопического ряда можно рассчитать, используя рекуррентные соотношения ТВ Рэляя–Шредингера. В случае, когда из измерений спектров известны энергетические уровни каких-либо изотопных модификаций, можно уточнить часть коэффициентов изотопического ряда подгонкой к этим уровням.

Для рассматриваемого нами изотопозамещения вида $^{32}\text{S}^{16}\text{O}_2 \rightarrow {}^X\text{S}^{16}\text{O}_2$, ограничиваясь только первым и вторым порядками ТВ, можно получить следующее соотношение [13]:

$$\Delta {}^X E_{VR} = -\mu(X) \frac{\mu(34)^2 \Delta {}^{33} E_{VR} - \mu(33)^2 \Delta {}^{34} E_{VR}}{\mu(33)\mu(34)(\mu(33) - \mu(34))} + \mu(X)^2 \frac{\mu(34)\Delta {}^{33} E_{VR} - \mu(33)\Delta {}^{34} E_{VR}}{\mu(33)\mu(34)(\mu(33) - \mu(34))}, \quad (1)$$

где $\Delta E_{VR} = {}^X E_{VR} - {}^{32} E_{VR}$ — изотопический сдвиг КВ-уровня энергии ${}^X E_{VR}$, V — колебательные квантовые числа ($v_1 v_2 v_3$ в случае SO_2), R — вращательные квантовые числа ($JK_a K_c$); $\mu(X) = (m_X - m_{32})/m_X$ — относительное изменение массы атома. Данное соотношение позволяет использовать известные из анализа экспериментальных спектров КВ-уровни энергии изотопологов $^{32}\text{S}^{16}\text{O}_2$, $^{33}\text{S}^{16}\text{O}_2$, $^{34}\text{S}^{16}\text{O}_2$ (см. работы [4–7]), чтобы определить уровни энергии других изотопологов. Отметим, что правило (1) приближенное, первая поправка к нему пропорциональна $\mu(X)^3$ и является малой величиной порядка 10^{-4} для замещения $^{32}\text{S}^{16}\text{O}_2 \rightarrow {}^X\text{S}^{16}\text{O}_2$. Ранее подобные соотношения были применены для вычисления колебательных уровней энергии изотопологов воды [13].

В настоящей работе они применяются для определения КВ-уровней изотопологов ${}^X\text{S}^{16}\text{O}_2$.

Микроволновый спектр ${}^{36}\text{S}^{16}\text{O}_2$

Как уже отмечалось выше, для ${}^{36}\text{S}^{16}\text{O}_2$ есть данные измерений только в микроволновом диапазоне [11]. Эту информацию можно использовать для оценки точности изотопического соотношения (1).

В табл. 2 приведены квантовые числа верхнего и нижнего состояний перехода, измеренные [11] и рассчитанные из соотношения (1) центры для 29 линий чисто вращательного спектра ${}^{36}\text{S}^{16}\text{O}_2$ в диапазоне от 8,4 до 38,5 ГГц.

Таблица 2
Центры линий микроволнового спектра ${}^{36}\text{S}^{16}\text{O}_2$, МГц

J'	K'_a	K'_c	J''_a	K''_a	K''_c	Эксперимент [11]	Формула (1)
22	4	18	21	5	17	8445,80	8421,236
32	6	26	31	7	25	8563,30	8538,239
1	1	1	2	0	2	9030,10	9035,933
37	7	31	36	8	28	9251,30	9256,962
16	4	12	17	3	15	10547,00	10529,15
35	8	28	36	7	29	10907,00	10925,20
5	2	4	6	1	5	13121,80	13113,39
15	4	12	16	3	13	13125,00	13137,09
25	6	20	26	5	21	14360,80	14381,58
12	2	10	11	3	9	14405,20	14378,60
30	7	23	31	6	26	14683,10	14683,12
23	4	20	22	5	17	16524,60	16548,33
14	2	12	15	1	15	17616,30	17596,65
8	2	6	9	1	9	17808,60	17812,89
15	2	14	14	3	11	18263,00	18275,81
20	5	15	21	4	18	22604,25	22597,64
19	3	17	18	4	14	24075,70	24095,71
33	6	28	32	7	25	26963,30	27001,30
28	5	23	27	6	22	30359,80	30334,75
4	0	4	3	1	3	32508,85	32496,16
9	3	7	10	2	8	35197,90	35204,62
8	1	7	7	2	6	35947,80	35954,81
6	2	4	7	1	7	36113,80	36112,13
17	2	16	16	3	13	36645,70	36683,84
18	3	15	17	4	14	36747,60	36733,26
19	5	15	20	4	16	36842,80	36854,48
16	2	14	17	1	17	37184,60	37123,02
10	3	7	11	2	10	37345,60	37341,61
24	6	18	25	5	21	38567,60	38556,60

На рис. 1 представлены разности между экспериментальными и расчетными центрами линий. Отметим, что согласие измеренных и вычисленных величин весьма удовлетворительное: наибольшая разность составляет 61,6 МГц для линии с центром 37184,6 МГц, что соответствует $\approx 0,002 \text{ см}^{-1}$. Для большинства линий различие между экспериментом и расчетом не превышает $0,001 \text{ см}^{-1}$, а стандартное отклонение составляет $7,1 \cdot 10^{-4} \text{ см}^{-1}$ (21,5 МГц).

В работе [11] приводятся также центры двух вращательных переходов в первом возбужденном колебательном состоянии (010). Для перехода (010)[5 2 4] \leftarrow (010)[6 1 5] с центром 16352,30 МГц изотопическое соотношение дает значение 16358,54 МГц, а для второго перехода (010)[4 0 4] \leftarrow (010)[3 1 3] измеренное и расчетное значения составляют 31393,60 и 31391,11 МГц, соответственно.

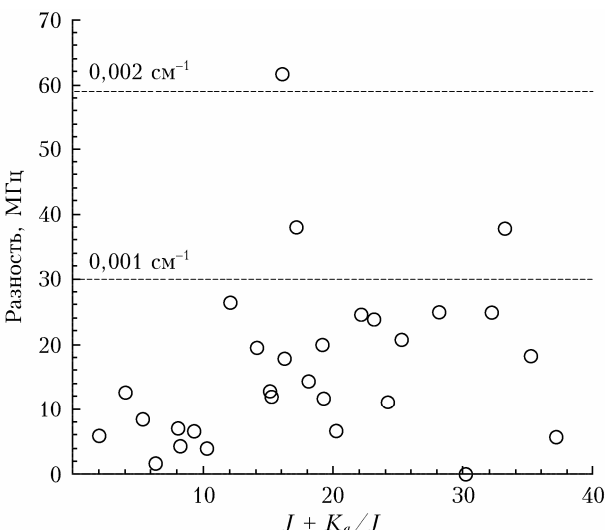


Рис. 1. Разности между расчетными (формула (1)) и измеренными [11] центрами линий $^{36}\text{SO}_2$ микроволнового диапазона

Таким образом, определение вращательных уровней энергии с помощью простого изотопического соотношения (1) оказывается достаточно точным для анализа ИК-спектров. Необходимо отметить, что, согласно рис. 1, наблюдается тенденция к увеличению ошибки расчета для $J > 30$.

КВ-уровни энергии изотопологов $^{35}\text{S}^{16}\text{O}_2$, $^{36}\text{S}^{16}\text{O}_2$, $^{37}\text{S}^{16}\text{O}_2$, $^{38}\text{S}^{16}\text{O}_2$

На основе изотопического соотношения (1) мы рассчитали КВ-уровни энергии до $J = 9$ пяти нижних колебательных состояний четырех изотополов серы, стабильных и радиоактивных, со временем полураспада более одной минуты. Для примера часть рассчитанных уровней представлена в табл. 3 и 4, также для сравнения приведены расчетные уровни $^{36}\text{S}^{16}\text{O}_2$ из [7].

Ранее вычисления КВ-уровней энергии стабильного изотополога $^{36}\text{S}^{16}\text{O}_2$ двуокиси серы проводились в работах [2–7, 15].

Необходимо отметить согласие между нашим расчетом по изотопическому правилу (1) и расчетом [2], использующим поверхность потенциальной энергии основного электронного состояния SO_2 из публикации [16]. В этом расчете применялись «быстрые» алгоритмы вычисления собственных значений матрицы гамильтониана и параллельные вычисления на суперкомпьютере. Медианская средняя ошибка расчета [2] колебательных уровней для изотополога $^{32}\text{S}^{16}\text{O}_2$ довольно большая ($0,6362 \text{ см}^{-1}$), что обусловлено недостаточной точностью функции потенциальной энергии, не учитывающей неадиабатические и релятивистские поправки. Полагаем, что можно считать среднюю ошибку расчета для других изотополов такой же.

В работе [4] для вычислений КВ-уровней энергии использовалась высокоточная *ab initio* поверхность потенциальной энергии, учитывавшая релятив-

Таблица 3

Уровни энергии основного и первого возбужденного колебательных состояний изотополов $^X\text{SO}_2$, cm^{-1}

J	K_a	K_c	$^{35}\text{SO}_2$	$^{36}\text{SO}_2$	$^{36}\text{SO}_2$ [7]	$^{37}\text{SO}_2$	$^{38}\text{SO}_2$
(000)							
0	0	0	0,0000	0,0000	0,0000	0,0000	0,0000
1	1	1	2,2319	2,2054	2,2055	2,1801	2,1562
2	0	2	1,9060	1,9040	1,9044	1,9019	1,8998
2	1	1	3,6086	3,5821	3,5824	3,5569	3,5330
2	2	0	8,3974	8,2939	8,2938	8,1954	8,1024
3	1	3	5,2789	5,2481	5,2480	5,2187	5,1909
3	2	2	10,3036	10,1981	10,1983	10,0976	10,0027
3	3	1	18,4118	18,1791	18,1792	17,9576	17,7486
4	0	4	6,3389	6,3321	6,3325	6,3253	6,3187
4	1	3	8,2398	8,2109	8,2116	8,1833	8,1571
4	2	2	12,8651	12,7579	12,7581	12,6559	12,5594
4	3	1	20,9581	20,7233	20,7231	20,4998	20,2889
4	4	0	32,2992	31,8859	31,8865	31,4924	31,1208
(010)							
0	0	0	511,4920	509,5303	509,5218	507,6327	505,8148
1	1	1	513,7603	511,7718	511,7637	509,8489	508,0072
2	0	2	513,3964	511,4329	511,4249	509,5337	507,7143
2	1	1	515,1369	513,1476	513,1408	511,2236	509,3806
2	2	0	520,0378	517,9701	517,9611	515,9717	514,0586
3	1	3	516,8033	514,8099	514,8024	512,8820	511,0353
3	2	2	521,9428	519,8735	519,8722	517,8734	515,9588
3	3	1	530,2386	528,0392	528,0313	525,9154	523,8840
4	0	4	517,8257	515,8570	515,8497	513,9525	512,1279
4	1	3	519,7675	517,7766	517,7689	515,8512	514,0070
4	2	2	524,5023	522,4313	522,4236	520,4296	518,5134
4	3	1	532,7831	530,5816	530,5734	528,4558	526,4225
4	4	0	544,3864	542,0027	541,9949	539,7033	537,5060

вистские поправки. *Ab initio* потенциальная поверхность (Ames-1, см. [4]) была уточнена подгонкой к экспериментальным уровням основной изотопной модификации $^{32}\text{S}^{16}\text{O}_2$. Средняя точность рассчитанных КВ-уровней энергии основной модификации $^{32}\text{S}^{16}\text{O}_2$ в [4] значительно выше, чем в [2, 3] и составляет $0,013 \text{ см}^{-1}$. Рассчитанные по изотопическому соотношению вращательные уровни энергии основного колебательного состояния $^{36}\text{S}^{16}\text{O}_2$, приведенные в табл. 3, хорошо согласуются с данными «глобального» расчета [4] с потенциальной функцией Ames-1: стандартное отклонение для них составляет $3,6 \cdot 10^{-4} \text{ см}^{-1}$. Для возбужденных колебательных состояний рассчитанные по изотопическому соотношению вращательные подуровни совпадают с данными расчета [4] на уровне нескольких сотых долей обратного сантиметра. Такое согласие двух расчетов, близкое к средней точности $0,013 \text{ см}^{-1}$, подтверждает их достоверность.

На рис. 2 представлены разности уровней, рассчитанных согласно (1) и приведенных в [4] (для основного (000) и первых двух возбужденных состояний (010) и (020)). Эти разности δE_{VR} можно приближенно представить в виде суммы $\delta E_{VR} \approx \delta E_V + \delta E_R$, где δE_V – разность колебательных уровней, δE_R – вращательных. Значения δE_V для двух колебательных состояний (010) и (020) обозначены пунктиром. Можно видеть, что различие между двумя расчетами обусловлено в основном различием в колебательной энергии, т.е. $|\delta E_V| \gg |\delta E_R|$ для всех уровней. Если из общих разностей δE_{VR}

Таблица 4

Уровни энергии колебательных состояний изотопологов ${}^X\text{SO}_2$, см $^{-1}$

J	K_a	K_c	${}^{35}\text{SO}_2$	${}^{36}\text{SO}_2$	${}^{36}\text{SO}_2$ [7]	${}^{37}\text{SO}_2$	${}^{38}\text{SO}_2$
(020)							
0	0	0	1022,3592	1018,4344	1018,4141	1014,6381	1011,0015
1	1	1	1024,6669	1020,7145	1020,6940	1016,8920	1013,2306
2	0	2	1024,2629	1020,3363	1020,3156	1016,5384	1012,9000
2	1	1	1026,0443	1022,0923	1022,0714	1018,2702	1014,6093
3	1	3	1027,7063	1023,7498	1023,7288	1019,9233	1016,2582
3	2	2	1032,9654	1028,9310	1028,9102	1025,0304	1021,2953
3	3	1	1041,4569	1037,2886	1037,2697	1033,2603	1029,4043
4	0	4	1028,6894	1024,7583	1024,7371	1020,9560	1017,3135
4	1	3	1030,6734	1026,7195	1026,6981	1022,8957	1019,2331
4	2	2	1035,5234	1031,4874	1031,4662	1027,5854	1023,8490
4	3	1	1044,0003	1039,8312	1039,8099	1035,8026	1031,9467
4	4	0	1055,8776	1051,5223	1051,5019	1047,3162	1043,2927
(100)							
1	1	1	1143,3956	1140,2514	1140,2628	1137,2616	1134,4429
2	0	2	1143,0616	1139,9418	1139,9541	1136,9751	1134,1779
2	1	1	1144,7655	1141,6210	1141,6332	1138,6310	1135,8118
2	2	0	1149,5595	1146,3365	1146,3496	1143,2714	1140,3812
3	1	3	1146,4279	1143,2789	1143,2911	1140,2844	1137,4610
3	2	2	1151,4567	1148,2321	1148,2451	1145,1654	1142,2738
3	3	1	1159,5737	1156,2211	1156,2337	1153,0329	1150,0268
4	0	4	1147,4738	1144,3494	1144,3616	1141,3782	1138,5767
4	1	3	1149,3747	1146,2276	1146,2407	1143,2348	1140,4128
4	2	2	1154,0061	1150,7801	1150,7929	1147,7122	1144,8195
4	3	1	1162,1081	1158,7537	1158,7656	1155,5639	1152,5564
4	4	0	1173,4613	1169,9267	1169,9396	1166,5654	1163,3958
(001)							
1	0	1	1337,8717	1330,4306	1330,4155	1323,3111	1316,5591
2	1	2	1340,6637	1333,1950	1333,1814	1326,0489	1319,2717
2	2	1	1345,5565	1338,0155	1337,9984	1330,8011	1323,9600
3	0	3	1341,0327	1333,5880	1333,5740	1326,4648	1319,7092
3	1	2	1342,8005	1335,3334	1335,3185	1328,1889	1321,4135
3	2	1	1347,4628	1339,9193	1339,9042	1332,7021	1325,8581
3	3	0	1355,4749	1347,8065	1347,7911	1340,4706	1333,5146
4	1	4	1344,9127	1337,4386	1337,4233	1330,2874	1323,5056
4	2	3	1349,9899	1342,4437	1342,4287	1335,2239	1328,3774
4	3	2	1358,0123	1350,3419	1350,3261	1343,0041	1336,0463
4	4	1	1369,2279	1361,3826	1361,3673	1353,8783	1346,7635

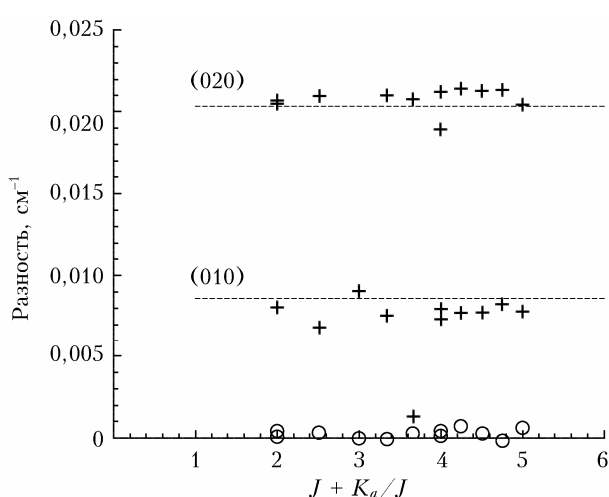


Рис. 2. Разности между уровнями энергии, полученными согласно (1) и рассчитанными в [5], для основного колебательного состояния (кружки) и возбужденных колебательных состояний (010) и (020) (${}^{36}\text{SO}_2$)

вычесть разности колебательных уровней δE_V , то согласие между расчетом Ames-1 и результатами вычисления по изотопическому соотношению (1) значительно улучшается, стандартное отклонение составляет, соответственно, $2,2 \cdot 10^{-3}$ и $8,0 \cdot 10^{-4}$ для вращательных уровней колебательных состояний (010) и (020).

Поскольку вычисления по изотопическому соотношению фактически представляют экстраполяцию имеющихся экспериментальных данных для ${}^{32}\text{S}{}^{16}\text{O}_2$, ${}^{33}\text{S}{}^{16}\text{O}_2$, ${}^{34}\text{S}{}^{16}\text{O}_2$ на изотопологи ${}^X\text{S}{}^{16}\text{O}_2$, то точность расчета по изотопическому соотношению (1) оказывается выше, чем вариационного расчета.

Заключение

Мы применили простое изотопическое соотношение (1), связывающее энергетические КВ-уровни трех изотопных модификаций ${}^{32}\text{S}{}^{16}\text{O}_2$, ${}^{33}\text{S}{}^{16}\text{O}_2$, ${}^{34}\text{S}{}^{16}\text{O}_2$ с уровнями стабильной модификации ${}^{36}\text{S}{}^{16}\text{O}_2$ и трех нестабильных модификаций ${}^{35}\text{S}{}^{16}\text{O}_2$, ${}^{37}\text{S}{}^{16}\text{O}_2$, ${}^{38}\text{S}{}^{16}\text{O}_2$. Фактически это правило позволяет получить данные для неизученных изотополов. Тестирование правила (1) проведено на примере линий микроволнового спектра ${}^{36}\text{S}{}^{16}\text{O}_2$. Для этого с помощью соотношения (1) были вычислены вращательные уровни энергии основного колебательного состояния и центры линий ${}^{36}\text{S}{}^{16}\text{O}_2$ микроволнового диапазона. Результаты расчетов хорошо согласуются с экспериментальными данными из работы [11] – на уровне 10^{-4} см $^{-1}$ для большинства линий. Вычислены КВ-уровни энергии для пяти нижних колебательных состояний четырех модификаций ${}^{35}\text{S}{}^{16}\text{O}_2$, ${}^{36}\text{S}{}^{16}\text{O}_2$, ${}^{37}\text{S}{}^{16}\text{O}_2$, ${}^{38}\text{S}{}^{16}\text{O}_2$. Сравнение с результатами вариационного расчета Ames-1 для линий ИК-диапазона изотополога ${}^{36}\text{S}{}^{16}\text{O}_2$ показало их вполне удовлетворительное согласие. Преимущество предлагаемого нами подхода в том, что расчеты уровней не требуют громоздких и длительных вычислений матрицы гамильтониана и ее диагонализации. Фактически изотопическое соотношение (1) представляет аппроксимацию экспериментальных данных, основанную на теории возмущений.

Список литературы

- Venzk E. Report on Ambae (Vanuatu): Techreport // Smithsonian Institution. Bulletin of the Global Volcanism Network. 2018. V. 43, N 2. DOI: 10.5479/si.GVP.BGVN201807-257030.
- Kumar P., Ellis J., Poirier B. Rovibrational bound states of SO_2 isotopologues. I: Total angular momentum $J = 0-10$ // Chem. Phys. 2015. V. 450–451. P. 59–73. DOI: 10.1016/j.chemphys.2015.02.007.
- Kumar P., Poirier B. Rovibrational bound states of SO_2 isotopologues. II: Total angular momentum $J = 11-20$ // Chem. Phys. 2015. V. 461. P. 34–46. DOI: 10.1016/j.chemphys.2015.08.025.
- Huang X., Schwenke D.W., Lee T.J. Highly accurate potential energy surface, dipole moment surface, rovibrational energy levels, and infrared line list for ${}^{32}\text{S}{}^{16}\text{O}_2$ up to 8000 cm $^{-1}$ // J. Chem. Phys. 2014. V. 140, N 11. P. 114311. DOI: 10.1063/1.4868327.

5. Huang X., Schwenke D.W., Lee T.J. Empirical infrared line lists for the SO₂ isotopologues: $^{32/33/34/36}\text{S}^{16}\text{O}_2$ and $^{32}\text{S}^{18}\text{O}_2$ // J. Mol. Spectrosc. 2015. V. 311. P. 19–24. DOI: 10.1016/j.jms.2015.01.010.
6. Underwood D.S., Tennyson J., Yurchenko S.N., Huang X., Schwenke D.W., Lee T.J., Clausen S., Fateev A. ExoMol molecular line lists. XIV. The rotation-vibration spectrum of hot SO₂ // Mon. Not. R. Astron. Soc. 2016. V. 459, N 4. P. 3890–3899. DOI: 10.1093/mnras/stw849.
7. Huang X., Schwenke D.W., Lee T.J. Isotopologue consistency of semi-empirically computed infrared line lists and further improvement for rare isotopologues: CO₂ and SO₂ case studies // J. Quant. Spectrosc. Radiat. Transfer. 2019. V. 230. P. 222–246. DOI: 10.1016/j.jqsrt.2019.03.002.
8. Ulenikov O.N., Bekhtereva E.S., Krivchikova Y.V., Zamotaeva V.A., Buttersack T., Sydow C., Bauerecker S. Study of the high resolution spectrum of $^{32}\text{S}^{16}\text{O}^{18}\text{O}$: The v₁ and v₃ bands // J. Quant. Spectrosc. Radiat. Transfer. 2016. V. 168. P. 29–39. DOI: 10.1016/j.jqsrt.2015.08.010.
9. Ulenikov O.N., Bekhtereva E.S., Gromova O.V., Zamotaeva V.A., Kuznetsov S.I., Sydow C., Maul C., Bauerecker S. First high resolution analysis of the v₁ + v₂ and v₂ + v₃ bands of S¹⁸O₂ // J. Quant. Spectrosc. Radiat. Transfer. 2016. V. 179. P. 187–197. DOI: 10.1016/j.jqsrt.2016.03.038.
10. Flaud J.-M., Blake T., Lafferty W. First high resolution analysis of the v₁, v₃, and v₁ + v₃ bands of sulphur dioxide $^{33}\text{S}^{16}\text{O}_2$ // Mol. Phys. 2017. V. 115, N 4. P. 447–453. DOI: 10.1080/00268976.2016.1269966.
11. Lovas J. Microwave spectral tables II. Triatomic molecules // J. Phys. Chem. Ref. Data. 1978. V. 7, N 4. P. 1445–1750. DOI: 10.1063/1.555588.
12. Замотаева В.А. Исследование колебательно-вращательных спектров изотопологов диоксида серы: автореф. дис. канд. физ.-мат. наук: спец. 01.04.05. ТПУ, 2019.
13. Быков А.Д., Воронин Б.А. Сдвиг колебательных уровней энергии молекул при изотопозамещении. Изотопический ряд и полузмпирический подход // Оптика атмосф. и океана. 2023. Т. 36, № 5. С. 339–345. DOI: 10.15372/A0020230501.
14. Meng Wang, Audi G., Kondev F.G., Huang W.J., Naimi S., Xing Xu The Ame2016 atomic mass evaluation (II). Tables, graphs and references // Chinese Phys. C. 2017. V. 41, N 3. P. 030003.
15. Tobias R., Furtenbacher T., Csaszar A.G., Naumenko O.V., Tennyson J., Flaud J.-M., Kumar P., Poirier B. Critical evaluation of measured rotational-vibrational transitions of four sulphur isotopologues of S¹⁶O₂ // J. Quant. Spectrosc. Radiat. Transfer. 2018. V. 208. P. 152–163. DOI: 10.1016/j.jqsrt.2018.01.006.
16. Kauppi E., Halonen L. A simple curvilinear internal coordinate model for vibrational energy levels of hydrogen sulfide and sulfur dioxide. // J. Chem. Phys. 1992. V. 96. P. 2933–2941. DOI: 10.1063/1.461990.

A.D. Bykov, B.A. Voronin. Isotopic shifts of vibrational-rotational lines of SO₂.

Simple isotopic relations relating the energy levels of the isotopologues $^{32}\text{S}^{16}\text{O}_2$, $^{33}\text{S}^{16}\text{O}_2$, and $^{34}\text{S}^{16}\text{O}_2$ with the levels of other isotopic variants are applied to calculations of vibrational-rotational energy levels. To estimate the accuracy of the isotopic ratio, we calculated and compared with the measured line centers of the microwave spectrum of the $^{36}\text{S}^{16}\text{O}_2$ isotopologue. Comparison showed their quite satisfactory agreement at a level of 10^{-3} cm⁻¹. Vibrational-rotational energy levels of sulfur dioxide isotopologues $^X\text{S}^{16}\text{O}_2$, $X = 35–38$, up to $J = 9$ for five lower vibrational states are presented.